

## О ПРАКТИЧЕСКОМ СПОСОБЕ ОПРЕДЕЛЕНИЯ ЖЕСТКОСТИ ЖЕЛЕЗОБЕТОННЫХ БАЛОК

Яременко А.Ф., Ковров А.В., Синюкина Т.А. (Одесская государственная академия строительства и архитектуры, г.Одесса)

В статье описана методика построения диаграммы работы изгибаемых железобетонных элементов «кривизна - изгибающий момент» при кратковременном действии нагрузки, которую можно рекомендовать для использования в практических расчетах конструкций.

При расчете несущей способности неразрезных железобетонных балок, а также целого ряда других железобетонных конструкций, расчете конструкций на динамические и ударные воздействия используются значения жесткости в каждом конкретном сечении, в том числе при состоянии близком к предельному. В связи с этим достоверность полученных решений зависит от достоверности принятого значения жесткости. На данный момент времени существует достаточное количество предложений для определения жесткостей с учетом реальных диаграмм деформирования бетона и арматуры, например: [8], [9], [10]. Рассмотрим предложения удобные для практического применения.

Физическое уравнение деформирования балки [2], [3] имеет вид:

$$Bk = -M(x), \quad (1)$$

где:  $B$  – изгибная жесткость поперечных сечений, определяемая с учетом неупругих свойств бетона и наличия или отсутствия трещин (в упругой стадии работы элемента равна произведению модуля упругости материала на момент инерции поперечного сечения  $EI$ );

$k$  – кривизна изогнутой оси элемента;

$M(x)$  – функция изгибающих моментов, возникающих в поперечных сечениях.

Можно выделить две стадии деформирования железобетонных балок:

- без трещин (в том случае, если выполняется условие  $M < M_{cr}$ );

- с трещинами (при  $M < M_{crc}$ ).

Здесь  $M_{crc}$  – изгибающий момент трещинообразования, который в общем виде определяется следующим образом [11], [6]:

$$M_{crc} = W_{pl} R_{bt}^{\mu} \quad (2)$$

где:  $W_{pl}$  – упругопластический момент сопротивления сечения;

$R_{bt}^{\mu}$  – нормативное сопротивление бетона на растяжение.

Момент образования трещин в сечениях можно определить исходя из эмпирической зависимости его от  $R_{bt}^{\mu}$  и коэффициента армирования  $\mu$  в соответствии с [7], для балок с одиночным армированием:

$$\frac{M_{crc}}{bh^2 \cdot R_{bt}^{\mu}} = 0,29 + 0,83\omega \quad (3)$$

где:  $b, h$  – ширина и высота сечения соответственно;

$$\omega = \mu \cdot \alpha_{bt},$$

здесь

$$\alpha_{bt} = 2\alpha = 2 \cdot E_s / E_b,$$

$E_s$  – модуль упругости арматуры;

$E_b$  – начальный модуль упругости бетона.

В стадии деформирования без трещин жесткость определяют по формуле [11], [6]:

$$B = E_{b1} \cdot I_{red} \quad (4)$$

где:  $E_{b1}$  – модуль деформации бетона, который равен:

– при непродолжительном действии нагрузки

$$E_{b1} = 0,85 \cdot E_b;$$

– при продолжительном действии нагрузки

$$E_{b1} = \frac{E_b}{1 + \varphi_{b,cr}},$$

здесь  $\varphi_{b,cr}$  – коэффициент ползучести, принимаемый по таблице представленной в [11].

$I_{red}$  – момент инерции приведенного поперечного сечения элемента:

$$I_{red} = I + I_s \cdot \alpha + I'_s \cdot \alpha,$$

где:  $I$  – момент инерции бетонного сечения относительно центра тяжести приведенного поперечного сечения элемента;

$I_s, I'_s$  – моменты инерции площадей сечения, соответственно растянутой и сжатой арматуры относительно центра тяжести приведенного поперечного сечения элемента.

$$I_s = A_s \cdot (h_0 - y_c)^2;$$

$$I'_s = A'_s \cdot (y_c - a')^2;$$

$\alpha$  – коэффициент приведения арматуры к бетону:

$$\alpha = \frac{E_s}{E_{b1}};$$

$y_c$  – расстояние от наиболее сжатого волокна бетона до центра тяжести приведенного поперечного сечения элемента.

При образовании трещин ( $M=M_{cr}$ ) кривизна элемента возрастает скачкообразно – при неизменяемом значении изгибающего момента изменяется жесткость. Таким образом, на этом участке математически жесткость  $B$  – разрывная функция изгибающих моментов.

В то же время в железобетонных балках (в том числе статически неопределимых) участки, соседние к сечению, в котором образуется трещина, препятствует резкому изменению кривизны. В связи с этим можно принять, что моменту трещинообразования  $M_{cr}$  соответствует целый непрерывный ряд значений кривизн в рассматриваемом интервале.

В работе [1] И.Е.Прокоповичем приведено выражение для жесткости сечения элемента с ненапрягаемой арматурой с учетом трещинообразования в растянутой зоне под действием постоянной нагрузки

$$B^*(\infty) = E_b A_b h_0^2 \sqrt{\mu n_1} K^*(\infty), \quad (5)$$

где:  $K^*(\infty)$  – коэффициент, учитывающий влияние длительности действия нагрузки на изменение жесткости во времени.

При кратковременном действии нагрузки формула принимает вид:

$$B_g = E_b A_b h_0 \sqrt{\mu n_1} b_1, \quad (6)$$

где:  $A_b$  - площадь поперечного сечения балки;

$h_0$  - расчетная высота сечения;

$\mu = A_s / A_b$  - коэффициент армирования сечения;

$A_s$  - площадь поперечного сечения арматуры;

$n_1 = E_s / E_b$  - отношение модулей упругости арматуры и бетона.

Коэффициент  $b_1$  определяется следующим образом:

$$b_1 = \beta_1 + \beta_2 \left( \frac{M_{crk}}{M} \right)^2.$$

Для элемента, имеющего прямоугольное поперечное сечение, приведены следующие значения коэффициентов  $\beta_1 = 0,159$ ,  $\beta_2 = 0,074$ .

Можно принять как в работе [2], что при предельном значении изгибающего момента ( $M = M_u$ ) кривизна может возрасти при постоянном значении изгибающего момента (т.е. считать, что в сечении образовался в соответствии с методом предельного равновесия пластический шарнир).

На рис.1. представлена диаграмма деформирования изгибаемых железобетонных элементов кривизна – изгибающий момент, построенная исходя из приведенных предложений.

На диаграмме прямолинейный участок 0 – 1 соответствует упругой работе сечения. При этом жесткость сечения постоянна и определяется по формуле (4).

Как видно на рис.1, жесткость  $B_g$  на этом участке геометрически интерпретируется как тангенс угла наклона диаграммы к оси кривизн.

Участок 1 – 2 соответствует интенсивному трещинообразованию, при котором без увеличения изгибающих моментов нарастает жесткость.

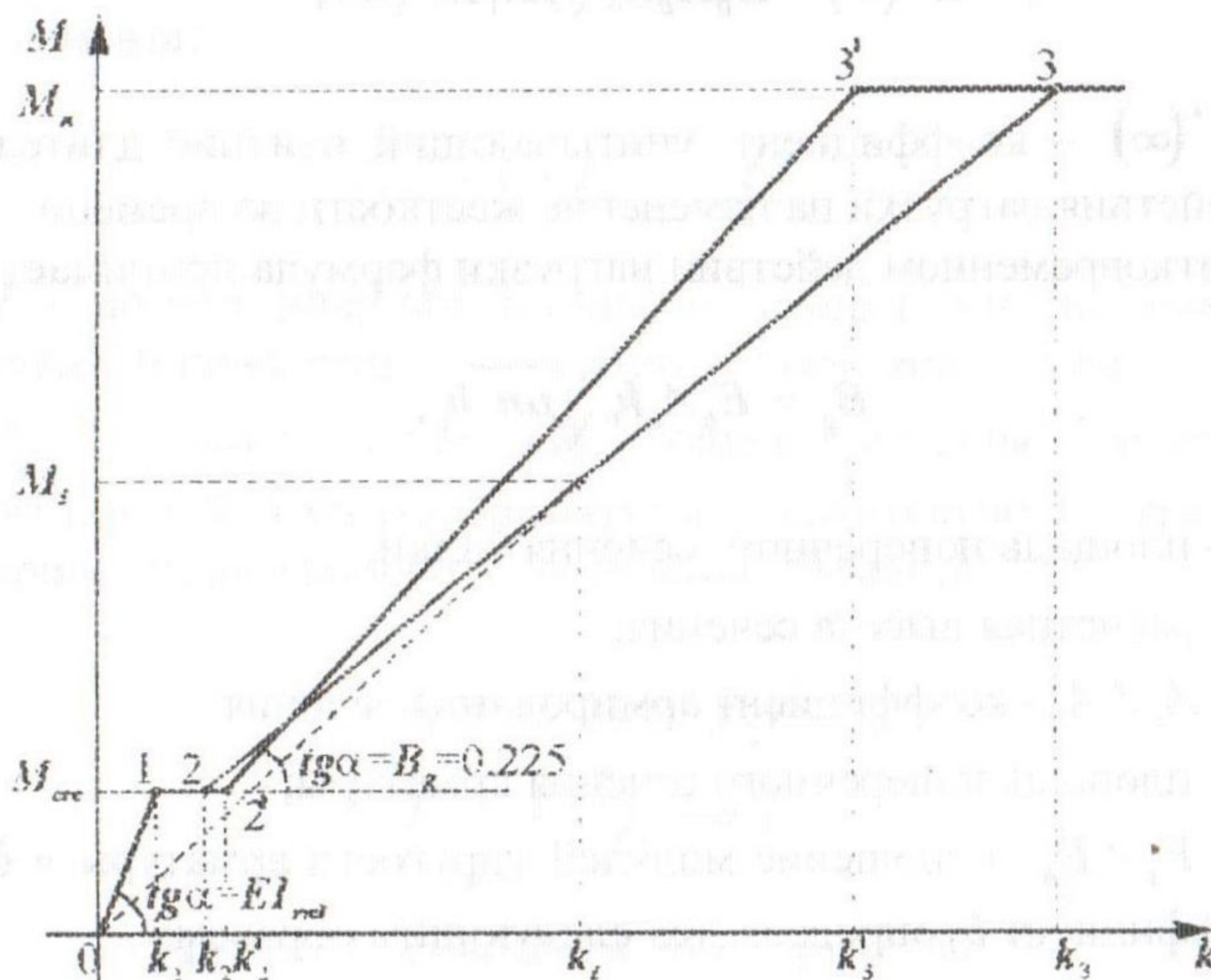


Рис. 1 Диаграмма деформирования железобетонной балки

Кривизна сечений находится в пределах  $k_1 < k_i < k_2$ . Жесткость на этом участке равна

$$B_g = \frac{M_{crc}}{k_i} \quad (7)$$

На участке 2 – 3 ( $k_2 < k_i < k_3$ ) элемент работает с трещинами.

Последний участок диаграммы, при значении изгибающих моментов, равных предельным  $M_u$ , соответствует образованию в сечении пластического шарнира. Значение  $M_u$  можно определить из уравнений предельного равновесия, пользуясь нормами проектирования.

Граничные значения кривизн определяются следующим образом

$$k_1 = \frac{M_{crc}}{E_b I_{red}}, \quad k_2 = \frac{M_{crc}}{B_g}, \quad k_3 = \frac{M_u}{B_g}$$

В формулах (9) жесткость  $B_g$  определяется выражением (6).

На участке 2 – 3 жесткость  $B_g$  интерпретируется как секущий модуль и геометрически равен тангенсу угла между осью кривизны и лучом, проведенным из начала координат к соответствующей точке диаграммы.

В СНиП [6] предложено жесткость изгибаемых элементов определять по формуле (6), принимая значение коэффициента  $b_1 = 0,225$ . В этом случае жесткость на участке 2' – 3' является неизменной (продолжение отрезка 2' – 3' проходит через начало координат).

Использование описанной диаграммы позволило создать методику расчета неразрезных железобетонных балок с учетом перераспределения усилий, которая реализована в системе компьютерной математики MATLAB [4].

### Литература

1. Прокопович И.Е., Зедгенидзе В.А. Прикладная теория ползучести. – М.: Стройиздат, 1980. – 240 с.
2. Соломин В.И., Шматков С.Б. Методы расчета и оптимальное проектирование железобетонных фундаментных конструкций. – М.: Стройиздат, 1986. – 208 с.
3. Яременко А.Ф., Ковров А.В. Напряженно-деформированное состояние неразрезных железобетонных балок. // Автомобільні дороги і дорожнє будівництво. Науково-технічний збірник. Вип.71, Київ, 2004. – С.198-205.
4. Ахматов М.А., Беккиев М.Ю. Влияние формы поперечного сечения на деформативность изгибаемых элементов // Бетон и железобетон. – 1995. – №5. – С. 6-9.
5. Залесов А.С., Мухамедиев Т.А., Чистяков Е.А. Расчет деформаций железобетонных конструкций по новым нормативным документам // Бетон и железобетон. – 2002. – №6. – С. 12-16.
6. Харун М. Уточнение оценки трещиностойкости железобетонных конструкций // Бетон и железобетон. – 2004. – №1. – С. 22-23.
7. Зайцев Л.Н., Маилян Р.Л., Ассад Р. Расчет статически неопределимых железобетонных балок с учетом ниспадающей ветви бетона // Вопросы прочности, трещиностойкости и деформативности железобетона. – Ростов-на-Дону, 1983.
8. Карпенко Н.И., Мухамедиев Т.А., Петров А.Н. Исходные и трансформированные диаграммы деформирования бетона и арматуры // Напряженно-деформируемое состояние бетонных и железобетонных конструкций. – М.: НИИЖБ, 1986.
9. Войцеховский А.В., Голоднов А.А. К расчету статически неопределимых железобетонных балок при силовых и деформационных воздействиях // Расчет, конструирование и технология изготовления бетонных и железобетонных изделий. М., 1989. – С. 16-20.
10. СНиП 2.03.01-84. Бетонные и железобетонные конструкции. – М. ЦИТП Госстроя РФ, 1996. – 79с.
11. СНиП 2.05.03-84 Мосты и трубы. М.: ЦИТП Госстроя СССР, 1985, – 199с.